

شبیه سازی جا به جایی امتزاجی با استفاده از مدل شبکه فضاهای خالی

مهناز حکمت زاده⁺ ، میرا دادرور*

تهران، دانشگاه صنعتی امیر کبیر، دانشکده مهندسی شیمی

چکیده: برای بررسی جابجایی امتزاجی در محیط متخلخل و شناخت تاثیر ناهمگونی‌های محیط بر این جابجایی استفاده از مدل‌های شبکه‌ای ضروری می‌باشد. هدف این مقاله دستیابی به الگوی جریان و بررسی تاثیر پارامترهای مختلف نظری سرعت، ویسکوزیته سیال و ساختار محیط متخلخل بر تشکیل جریان انگشتی در فرآیند جابجایی امتزاجی می‌باشد. برای شبیه سازی از یک شبکه دو بعدی از گلوهای و گره‌ها به عنوان مدلی از محیط متخلخل استفاده شده و اندازه شعاع گلوهای از یک تابع توزیع به دست آمده است. در این مدل سازی، توزیع غلظت در شبکه از حل همزمان معادلات فشار و جابجایی-نفوذ برای غلظت در گلوهای و گره‌ها، برای شرایط امتزاجی از نوع تماس نخست، محاسبه می‌شود. نتیجه‌های این مدل نشان می‌دهد که با بزرگتر شدن اندازه گلوهای ضریب بازیافت شبکه افزایش می‌یابد. همچنین افزایش جزء گلوهای بسته که موجب ناهمگنی شبکه می‌شود، ضریب بازیافت شبکه را کاهش می‌دهد. همچنین بر اساس نتیجه‌های به دست آمده ضریب پخش طولی در شبکه با بزرگ شدن اندازه شبکه به آرامی افزایش می‌یابد.

واژه‌های کلیدی: جابجایی امتزاجی، شبکه فضاهای خالی، مدل‌سازی، شبیه‌سازی، ضریب پخش، زمان اولین خروج، ضریب بازیافت.

KEY WORDS: Miscible displacement, Pore network, Modeling, Simulation, Dispersion factor, Break through, Recovery factor.

مقدمه

در شبکه‌های محیط متخلخل توسعه داده شده است. برای مثال پخش در شبکه‌ای از فضاهای خالی در مقیاس میکروسکوپی با فرض اینکه طول لوله‌ها بسیار طولانی تر از عرض آنها باشد [۱ – ۳]، مهاجرت در شبکه شکاف‌ها [۴، ۵] و مهاجرت ماکروسکوپیکی در محیط متخلخل ناهمگن [۶] مطالعه شده است. مدل‌های شبکه‌ای توسط سایمون و کلسی استفاده گردید، اما مدل آنها بسیار ساده و شبکه بسیار کوچک بود [۷]. مهاجرت تک فازی در شبکه با استفاده از حل معادلات دیفرانسیل جزئی شبیه سازی می‌گردد. در این روش پیش‌بینی ویژگی‌های مهاجرت

یکی از ابزارهای عددی مهم در تخمین نفوذپذیری محیط متخلخل نامنظم، شبیه‌سازی کامپیوترا با استفاده از مدل شبکه‌ای است. مزیت مدل‌های شبکه‌ای نسبت به مدل‌های پیوسته این است که این مدل‌ها قادر به در نظر گرفتن اثر ساختار محیط متخلخل در پدیده‌های انتقال هستند، در صورتی که در مدل‌های پیوسته اثر ساختار فضاهای خالی در پدیده‌های انتقال وارد نمی‌شود. درنتیجه مدل شبکه‌ای قادر به پیش‌بینی دقیق چگونگی جابجایی سیال با توجه به ساختمان فضاهای خالی در مقیاس میکروسکوپی می‌باشد. در تحقیقات قبلی مدل‌هایی برای تخمین جریان انگشتی ویسکوز

* عهده دار مکاتبات

+ E-mail: dadvar@aut.ac.ir

سپس ذره‌ها از یک گره به گره دیگر در مراحل مجزا با استفاده از توزیع زمان گذار حرکت داده می‌شوند. در این مدل از فرضیه‌های مخلوط شدن کامل در هر گره و تخصیص تصادفی جریان نفوذ استفاده شده است و سرعت خروجی بر مبنای حد بالابی عدد پکلت و مشخص شدن تصادفی حد نفوذ وزن داده شده است. در مطالعه بایجلجیک انتقال در هر گلو همزمان با قدمهای سرعت و نفوذ حرکت داده می‌شوند. جریانی که با قدمهای سرعت به گره رسیده است متناسب با وزن سرعت خروجی، جریان می‌باید و احتمال دستیابی به گره خروجی در صورت ورود با گام نفوذی امکان پذیر می‌شود. ولی در این روش در مورد درستی قانون اختلاط و چگونگی تخصیص جریان به گلوهای هنگامی که به گره می‌رسند، در صورتیکه هر دو مکانیزم سرعت و نفوذ مهم باشد، اختلاف نظر وجود دارد.

در این پژوهش تلاش شده است که با استفاده از قانون‌های مخلوط شدن با استفاده از بالانس جرمی در گره‌ها و حل معادلات جابجایی - نفوذ در هر گلو (رابطه آریس و تیلور [۲۱، ۲۲]) و حل همزمان معادله‌های جریان و غلظت در شبکه، جابجایی امتزاجی با دقت بیشتری مورد تجزیه و تحلیل قرار گیرد و اثر تغییر ساختمان محیط متخلخل بر فرایند پخش حلال در نفت بررسی شود. در اینجا جابجایی امتزاجی از نوع تماس نخست یک سیال، "نفت" با سیال دیگر، "حال" که دارای ویسکوزیته متفاوت باشند بررسی شده است. به این منظور یک نرم افزار کامپیوترویی به زبان فرتون توسعه داده شده است.

بخش نظری مدل سازی شبکه‌ای

در مدل شبکه‌ای، محیط متخلخل با شبکه‌ای از فضاهای خالی متقاطع نمایش داده می‌شود. فضاهای خالی شامل گلوهای گره‌ها هستند. در اینجا گلوهای به صورت استوانه‌ای در نظر گرفته شده‌اند. البته گلوهای ممکن است به اشکال نامنظم و به صورت همگرا و واگرا باشند اما از آنجا که شعاع موثر آنها محدود کننده حرکت و نفوذ می‌باشد، شعاع موثر آنها از یکتابع توزیع مناسب تعیین می‌شود. گلوهای مسیرهای انتقال بوده و گره‌ها محل تقاطع گلوهای می‌باشند. در اینجا از مدل شبکه دو بعدی مربوطی با عدد اتصال $Z = 4$ استفاده شده که بدین معنی است که در هر گره چهار گلو به یکدیگر وصل شده‌اند (شکل ۱). البته از آنجا که عملاً عدد

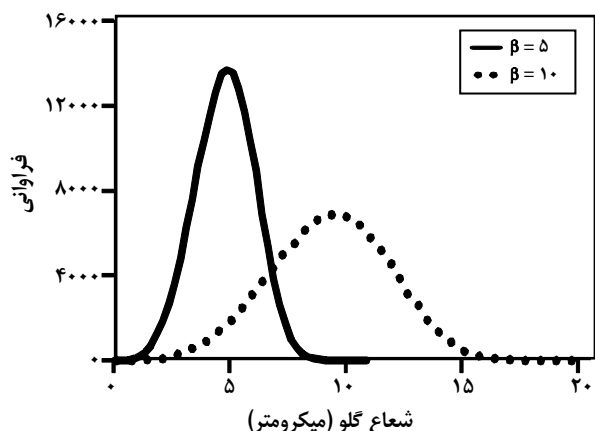
چند فازی و تکفازی در مطالعه‌های جدید مدل‌سازی شبکه‌ای محیط متخلخل در مقیاس اندازه فضاهای خالی، توسط بلانت به کار رفته و نتایج رضایت‌بخشی داشته است. [۸، ۹]. این روش به عنوان اولین قانون پیش‌بینی نفوذپذیری نسبی دو و سه فازی [۱۰، ۱۲] و ضریب‌های پخش [۱۳] به کار رفته است. مشکل این روش تقریب توزیع غلظت در طول هر گلو با فرض تغییرهای خطی درجه اول می‌باشد.

دی‌آرکاتجیس برای اصلاح مشکل فوق، معادلات دیفرانسیل غلظت را در فضای لایپلاس حل نمود. هر چند این روش هوشمندانه است ولی یافتن پروفیل غلظت در فضای حقیقی نیازمند استفاده از تبدیل معکوس لایپلاس همزمان برای تمامی گره‌ها است [۱۴]. روش مستقیم دیگر استفاده از مهاجرت ذره‌ها است که در هر بازه زمانی ذرات با اثرات سرعت و نفوذ در زمان t حرکت داده می‌شوند [۱۵-۱۷]. در روشی که توسط سهیمی استفاده شده است، حرکت نفوذی ذره‌ها در هر گلو با احتمالی متناسب با سطح مقطع گلو وارد می‌شوند [۱۸]. سپس ذره‌ها می‌توانند بین گره‌ها با زمان متوسط مهاجرت $D^{1/2}/L$ حرکت نمایند. در حرکت جابجایی، ذرات در هر گلو با احتمالی متناسب با فلاکس خروجی وارد می‌شوند و بین گره‌ها با زمان L/V حرکت می‌کنند [۳]. تا کنون مدل ریاضی که بتواند مکانیزم‌های انتقال در اثر نفوذ و سرعت را بطور همزمان در نظر بگیرد ارائه نشده است. همچنین حل مسئله در شرایط امتزاج پذیری سیالات از نوع تماس متعدد، چار چالش می‌باشد.

برکوویت از وزن دادن به گلوهای جریان بر مبنای طول آنها استفاده کرد. [۱۹، ۲۰] او راه حل تحلیلی برای حل مساله جریان را با استفاده از حرکت ذره‌ها به طور توازن انجام داد و سپس نتیجه‌ها را برای بخشی از جریان ورودی به هر گلو به صورت تابعی از عدد پکلت $Pe = VL/D$ ارائه داد. از معایب این روش وابستگی جواب‌های نسبت به زمان مسئله به اندازه ابعاد شبکه است. اما در روش‌های تحلیلی قبلی جوابها مستقل از اندازه ابعاد شبکه بودند.

سری و کلایفرد [۱] و همچنین بایجلجیک و همکارانش [۱۳] پخش ذرات ماده تزریقی را با استفاده از مدل سازی شبکه‌ای و الگوریتم مهاجرت با احتساب نفوذ مولکولی و سرعت جابجایی شبیه‌سازی نمودند. در مطالعه سری و کلایفرد زمان عبور از هر گلو با استفاده از مدل سازی قدمهای تصادفی^(۱) با جابجایی و نفوذ عمودی و طولی به دست آمد.

(۱) Random Walk

شکل ۲- توزیع شعاع در شبکه 300×300 .

شبیه استاتیک و مدل جابه‌جایی دینامیک. در مدل شبیه استاتیک انتقال بر اساس فشار موئینگی است اما در مدل دینامیک سرعت سیال، عامل جابه‌جایی می‌باشد لذا با توجه به سرعت سیال و با گذشت زمان، مکان مرز جابه‌جایی (جهه) دو سیال تعیین می‌شود. در این تحقیق از مدل دینامیک استفاده شده است.

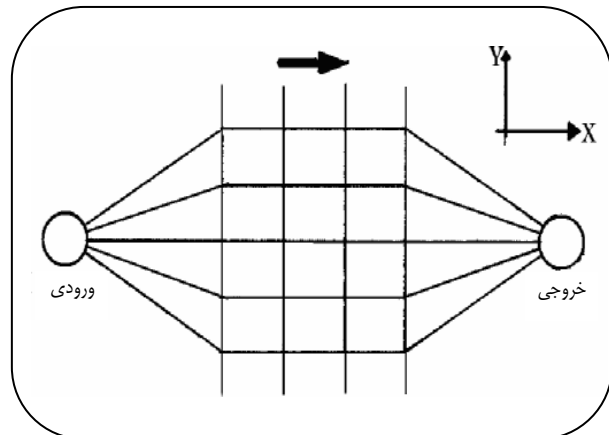
معادله‌های جابه‌جایی سیال

برای انجام مدل‌سازی، معادله‌های جریان در اثر گرادیان فشار و معادله‌های غلظت در نظر گرفته شده است. در زیر معادله‌های فشار و غلظت برای گلوهای گرهی معرفی شده اند. گلوهای محیط پیوسته بوده و مکانیسم توزیع غلظت در آنها جابه‌جایی و نفوذ می‌باشد. معادله جریان در گلوهای نیز بر اساس جریان آرام تعیین می‌شود. هر گره نیز محل اختلاط جریان گلوهای متصل به آن گره بوده و درنتیجه تجمع در آنها وجود ندارد.

معادله‌های توزیع فشار گلوهای

از آنجا که شعاع گلوهای بسیار کوچک می‌باشد رژیم جریان در گلوهای محیط متخلخل به صورت آرام است. درنتیجه شدت جریان Q_{ij} در هر گلو واقع بین گرههای i و j در صورتی که یک سیال در آن جریان داشته باشد با استفاده از رابطه افت فشار در طول گلوهای در جریان آرام (رابطه هاگن پویسله) تعیین می‌شود [۲۵]:

$$P_i - P_j = \frac{\alpha \eta_r Q_{ij}}{\pi R_{ij}^4} \quad (2)$$



شکل ۱- شماتیک شبکه دو بعدی جهت مدل‌سازی.

اتصال ثابت نبوده و می‌تواند از یک گره به گره دیگر تغییر کند. برای بررسی اثر تغییر عدد اتصال و در واقع تغییر ساختمان محیط متخلخل می‌توان درصد معینی از گلوهای را به صورت انفاسی از شبکه حذف نمود.

گره‌ها، محل برخورد گلوهای در واقع مکانی برای انتقال جرم بین آنها در نظر گرفته می‌شوند. بسیاری از محققان نیز گره‌ها را به همین صورت در نظر گرفته و حجمی را به آنها اختصاص نداده‌اند [۲۳، ۲۴] هر چند تحقیقات فراوانی نیز وجود دارد که از این فرضیه تبعیت نمی‌کنند [۲۵، ۲۶].

شعاع مؤثر هر گلو با استفاده ازتابع توزیع اندازه گلوهای، که از روش‌های تجربی قابل اندازه‌گیری است، بدست می‌آید. در اینجا شعاع موثر گلوهای بر اساس توزیع ویبا [۲۷] تعیین شده است.

$$r = \beta (-\ln(1-x))^{\frac{1}{\alpha}} \quad (1)$$

که در آن $0 < \alpha < 4$ است. در شبیه سازی حاضر از مقادیر $\alpha = 4$ و $\beta = 10 \mu\text{m}$ که برای محیطی از جنس ماسه سنگ مناسب می‌باشد، استفاده شده است.

در شکل ۲ توزیع اندازه شعاع گلوهای در شبکه 300×300 گره برای دو توزیع متفاوت با پارامترهای توزیع $\beta = 5$ و $\beta = 10$ نشان داده شده است. همانگونه که در این شکل مشخص است کوچکتر شدن β سبب باریکتر شدن تابع توزیع و کوچک شدن اندازه گلوهای می‌شود.

طول گلوهای مساوی در نظر گرفته شده است. البته در صورت وجود اطلاعات در مورد یک محیط متخلخل طول گلوهای را نیز می‌توان از تابع توزیع طول آنها تعیین نمود. مدل‌سازی شبکه‌ای از دو روش انجام می‌شود: مدل جابه‌جایی

گلوها

معادله جابه‌جایی - نفوذ غلظت در یک لوله مؤین به صورت زیر است.

$$\frac{dC}{dt} = D_m \left(\frac{d^r C}{dr^r} + \frac{1}{r} \frac{dC}{dr} + \frac{d^r C}{dx^r} \right) - v_m \left(1 - \frac{r^r}{R^r} \right) \frac{dC}{dx} \quad (6)$$

این معادله توسط آریس و تیلور [۲۱، ۲۲] به صورت زیر تغییر داده شد.

$$\frac{d\bar{C}}{dt} = D_l \left(\frac{d^r \bar{C}}{dx^r} \right) \quad (7)$$

همچنین:

$$x' = x - vt \quad (8)$$

این معادله با شرایط مرزی زیر حل می‌شود:

$$\begin{cases} x = 0 & \bar{C} = C_0 \\ x = \infty & \bar{C} = 0 \\ t = 0 & \bar{C} = 0 \end{cases}$$

حل معادله بالا در لوله موین در شرایط با جریان آرام به صورت زیر می‌باشد.

$$\frac{\bar{C}}{C_0} = \frac{c_i}{2} \left[1 \pm \operatorname{erf} \left(\frac{x - vt}{2\sqrt{D_L t}} \right) \right] \quad (9)$$

$$\begin{cases} - & x - vt < 0 \\ + & x - vt > 0 \end{cases}$$

که در آن ضریب پخش طولی D_L از معادله زیر بدست می‌آید:

$$\frac{D_L}{D_m} = 1 + \frac{1}{48} Pe^r \quad (10)$$

$$Pe = \frac{Rv}{D_m} \quad (11)$$

از این روابط برای تعیین غلظت در گلوها استفاده می‌شود. بنابراین پارامترهای مربوط به هر گلو به v_{ij} و Pe_{ij} تبدیل می‌شود.

گره‌ها

در مورد گره‌ها، از آنجا که گره‌ها فقط به عنوان نقطه اختلاط در نظر گرفته شده و تجمع در آنها وجود ندارد، معادله بیلان جرم در گره‌ها به صورت زیر است:

$$\sum_j J_{ij} S_{ij} = 0 \quad (12)$$

از آنجا که در اینجا مسئله به صورت ناپایدار حل می‌شود و زمان اقامت در گلوها متفاوت است، لذا یک مبنای زمانی انتخاب شد و تغییر ویسکوزیته در هر گلو برای فواصل زمانی کوچک به سمت جلو تعیین شد.

در گلویی که حلال با ویسکوزیتهای متفاوت با نفت به آن وارد می‌شود در صورتی که قطعه X_{ij} با مخلوطی از سیال جابجا شونده و سیال جابجا کننده و بقیه آن با سیال جابجا شونده پر شده باشد، اختلاف فشار بین دو گره متصل به آن گلو $P_i - P_j$ از معادله زیر محاسبه می‌شود [۲۳ و ۲۵]:

$$P_i - P_j = \frac{8\eta_r \left(\frac{X_{ij}}{M} + L_{ij} - X_{ij} \right) Q_{ij}}{\pi R_{ij}^r} = \frac{Q_{ij}}{g_{ij}} \quad (3)$$

M از معادله زیر بدست می‌آید.

$$M = \frac{\eta_r}{\eta_m} \quad (4)$$

که η_m ویسکوزیته موثر مخلوط دو سیال می‌باشد که نحوه محاسبه آن در ادامه توضیح داده خواهد شد.

گره‌ها

گره‌ها محل تبادل بین گلوها در نظر گرفته شده‌اند که تجمع جرم در آنها وجود ندارد پس نرخ خالص جریان به هر گره i برابر صفر است. بنابراین معادله بیلان جرم در هر گره در داخل شبکه را می‌توان به صورت زیر نوشت.

$$\sum_i Q_{ij} = 0 \quad (5)$$

مجموعه فوق برای تمام گلوهای متصل به گره i می‌باشد. برای گره‌های ستون اول و آخر مجموع جریان ورودی و یا خروجی به آنها نیز برابر با جریان ورودی و یا خروجی در نظر گرفته شده است. از نوشتن این معادله برای تمامی گره‌های شبکه یک دستگاه معادلات خطی حاصل می‌شود که از حل آن توزیع فشار در شبکه محاسبه می‌گردد.

معادله‌های توزیع غلظت

پس از تعیین توزیع فشار در شبکه و محاسبه سرعت در هر گلو می‌توان توزیع غلظت در شبکه را پس از گذشت Δt محاسبه نمود.

مراحل انجام شیبیه سازی

الگوریتم شیبیه سازی جابه‌جایی شامل مراحل زیر است:

- ۱- شبکه با ابعاد و عدد اتصال مورد نظر ساخته شده و شاعر گلوها از تابع توزیع مربوطه تعیین می‌شود.
- ۲- ابتدا برای جریان حلال به تنها بی در شبکه با استفاده از روش ارائه شده در قسمت معادله‌های توزیع فشار، دبی در هر گلو و سپس سرعت در گلوها محاسبه شده و سپس زمان عبور از گلوها محاسبه می‌شود.

$$\bar{v}_{ij} = \frac{Q_{ij}}{S_{ij}} \quad (14)$$

$$t_{ij} = \frac{1}{\bar{v}_{ij}} \quad (15)$$

- در اینجا کوتاه‌ترین زمان عبور از گلوها به عنوان مبنای برای تعیین Δt انتخاب می‌شود. Δt برابر با جزئی از کوتاه‌ترین زمان عبور در نظر گرفته می‌شود. در اینجا جزء $\frac{1}{\bar{v}_{ij}}$ در نظر گرفته شده است.
- ۳- ویسکوزیته موثر از قانون مخلوط شدن با توان چهارم به دست می‌آید [۲۲]:

$$\eta_m = \left(\frac{C_r}{\eta_r^{1/4}} + \frac{1-C_r}{\eta_i^{1/4}} \right) \quad (16)$$

- ۴- نسبت تحرک از معادله (۴) و نیز مقدار سرعت متوسط در هر گلو از معادله (۱۶) تعیین می‌شود و جهت آن نیز با توجه به فشار گره‌های مجاور مشخص می‌شود.

- ۵- فقط در لحظه شروع پیشروی در ستون اول شبکه، مکان جبهه در تمامی گلوها در اثر گرادیان فشار پس از گذشت زمان Δt تعیین می‌شود.

$$\Delta X_{ij} = \frac{\bar{v}_{ij}}{\Delta t} \quad (17)$$

- ۶- پس از تعیین میزان پیشروی اولیه با استفاده از معادله (۱۷)، توزیع جدید فشار در شبکه با استفاده از معادله‌های (۳) و (۵) به دست می‌آید. پس سرعت در ناحیه قبل از جبهه تصحیح می‌شود.
- ۷- با استفاده از معادله‌های (۱۰) و (۱۱) ضریب پخش در هر گلو D_{ij} محاسبه می‌شود.

(۱) Sparce

جدول ۱- پارامترهای استفاده شده در شیبیه‌سازی.

۱۰	M
$2 \times 10^{-3} \text{ cc/min}$	Q
۱ سانتی پواز	η_1
۱۰ سانتی پواز	η_2
$10^{-5} \text{ متر مربع بر ثانیه}$	D_m
۴,۵۷	I/R_{avg}

فلاکس جرمی در هر گلو J_{ij} بر اساس مکانیزم‌های نفوذ و جابه‌جایی از معادله زیر به دست می‌آید.

$$J_{ij} = \left(v_{ij} \bar{C} - D_m \frac{d\bar{C}}{dx} \right) \quad (13)$$

برای محاسبه $d\bar{C}/dx$ از معادله (۹) مشتق گرفته شده است. اگر معادله (۱۲) برای تمامی گره‌های شبکه نوشته شود، یک دستگاه معادلات بدست می‌آید که مجھول‌های آن غاظت در گره‌ها پس از گذشت زمان Δt است.

این دستگاه با استفاده از روش‌های عددی قابل حل است. مجموعه معادلات حاصل که برای شبکه 300×300 شامل یک ماتریس حجیم 9000×9000 است.

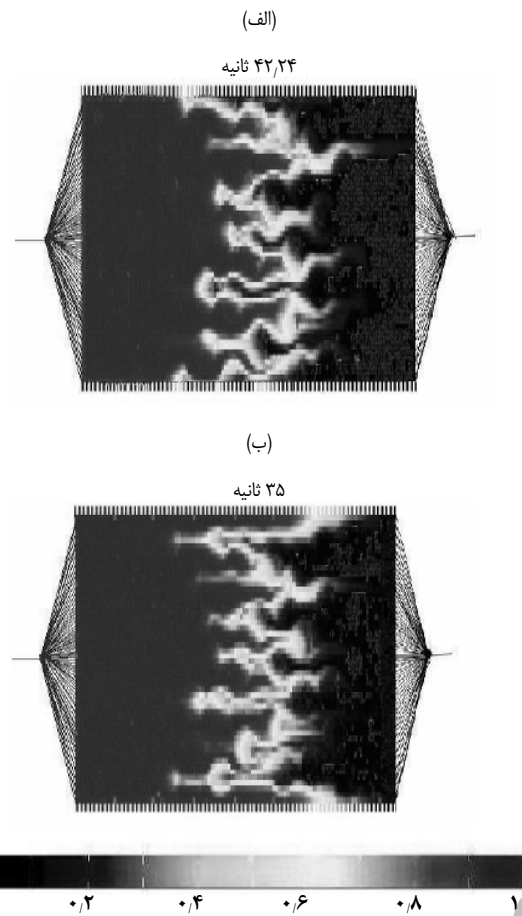
پس از منظم کردن ضریب‌های ماتریس به صورت ماتریس‌های پراکنده^(۱) و ذخیره کردن المان‌های غیر صفر و قطعی آن با استفاده از روش گرادیان توام^(۲) برای زمان‌های متفاوت حل شده است.

شرایط مرزی و شرایط اولیه

در شرایط اولیه شبکه با سیال نفت اشباع می‌باشد. شرایط مرزی در جهت اصلی انتقال به صورت شدت جریان معین در ورودی و خروجی شبکه برابر Q می‌باشد. شرایط مرزی در جهت عمود بر جهت اصلی انتقال، بصورت پریودیک در نظر گرفته می‌شود تا اثرات اندازه محدود شبکه در نتیجه‌های به حداقل رسانده شود.

سایر فرضیه‌هایی که در این مدل سازی در نظر گرفته شده، عبارتند از اینکه سیال غیر قابل تراکم و امتراجی از نوع تماس نخست باشد. همچنین از تعییرهای دما و فشار در فرایند صرف نظر شده است. طول گلوها نیز چندین برابر قطر متوسط آن‌ها در نظر گرفته شده است. سایر پارامترهای استفاده شده در شیبیه‌سازی در جدول ۱ آمده است.

(۲) Biconjugate Gradient



شکل ۳- شبیه سازی جابه جایی امتر توزیع شعاع ۵ با گلوهای باز و نسبت تحرک ۵. (الف) پارامتر توزیع شعاع $\beta = 5$ ، (ب) پارامتر توزیع شعاع $\beta = 10$.

حال از شبکه میزان سیال تزریقی با سیال تولید شده برابر است. اما بعد از این زمان مقداری از حال نیز در جریان خروجی وجود دارد.

اثر توزیع شعاع گلوها

برای بررسی اثر اندازه شعاع گلوها در اولین زمان خروج، این زمان برای توزیع اندازه های در نظر گرفته شده در شکل ۳ الف و ب، با هم مقایسه شده است.

در شکل الف که مربوط به اندازه کوچکتری از گلوها می شود زمان اولین خروج ۴۲.۲۴ ثانیه و در شکل ب زمان خروج ۳۵ ثانیه شده است. همچنین تشکیل جریان انگشتی ویسکوز در شکل ب بیشتر است. بزرگتر شدن شعاع گلوها سبب افزایش ضریب پخش هم می شود. همچنین ضریب بازیافت برای توزیع اندازه بزرگتر گلوها بزرگتر می باشد که این نتایج نیز در شکل ۹ ارایه می شوند.

- ۸- با استفاده از سرعت در ناحیه قبل از جبهه و D_{ij} و معادله (۱۲) می توان توزیع غلظت در ناحیه قبل از جبهه را بدست آورد.
- ۹- در زمان پس از لحظه شروع برای تعیین Δx مکان جبهه جابه جایی غلظت در گلوهای شبکه با استفاده از توزیع غلظت بدست می آید.

$$\Delta X_{ij} = J_{ij} \Delta t \quad (18)$$

- ۱۰- این مراحل تا رسیدن جبهه به هر گره تکرار می شود، اما زمان رسیدن به هر گره باید چک شود. اگر در زمان Δt بعدی پیشروی جبهه از طول یک گلو بیشتر شود و جبهه از یک گره عبور نماید باید Δt برای رسیدن به آن گره اصلاح شود به طوری که جزیی از Δt قبل از گره و مابقی بعد از آن در نظر گرفته شود. سپس با حل همزمان معادله (۱۲) برای همه گره ها غلظت در تمامی گره ها محاسبه می شود.

۱۱- این مراحل تا رسیدن حلال به گره خروجی تکرار می شود.

- ۱۲- پس از اولین خروج حلال از گره خروجی، زمان کل حرکت سیال در شبکه، دبی خروجی و ضریب بازیافت محاسبه شده است.

مقایسه نتایجه ها

برای مقایسه نتایجه های زمان اولین خروج، ضریب پخش شبکه و ضریب بازیافت مقایسه گردیده است. زمان خروج حلال از گره خروجی در شبکه به عنوان زمان اولین خروج ثبت شده است. برای محاسبه ضریب پخش از روابط زیر استفاده شد. غلظت متوسط در هر سطح مقطع از شبکه را با متوسط وزنی مساحت هر گلو محاسبه می شود:

$$\bar{C} = \frac{\sum \bar{C}_{ij} A_{ij}}{\sum A_{ij}} \quad (19)$$

برای محاسبه ضریب پخش شبکه از نتایجه های محاسبه توزیع غلظت در شبکه استفاده می شود. به طوری که زمانی که \bar{C}/C در خروجی شبکه برابر 0.16 و 0.84 شود، بدست می آیند. از معادله زیر داریم [۲]:

$$D_1 = \frac{1}{\lambda} \left[\frac{L - vt_{0.16}}{\sqrt{t_{0.16}}} - \frac{L - vt_{0.84}}{\sqrt{t_{0.84}}} \right]^2 \quad (20)$$

ضریب بازیافت برابر نسبت میزان سیال تولیدی به کل سیال موجود در شبکه تعیف می شود. توجه گردد که تا زمان اولین خروج

در شکل ۶ نشان داده شده است. نتیجه‌ها نشان می‌دهد با زیاد شدن تعداد نمونه‌ها تغییرها در نتیجه‌ها بسیار کم می‌شود.

ضریب پخش شبکه

وابستگی ضریب پخش به اندازه شبکه

در اینجا اثر اندازه شبکه بر ضریب پخش بررسی شده است. لازم به توضیح است که در برخی از اندازه‌گیری‌های آزمایشگاهی انجام شده وابستگی ضریب پخش به ابعاد محیط متخلخل بررسی شده است. اما در برخی مطالعه‌های ضریب پخش مستقل از ابعاد سیستم در نظر گرفته شده و به صورت تابعی از عدد رینولدز و عدد پکلت در نظر گرفته شده است [۲۹, ۳۲].

هن ضریب پخش را در مکان‌های مختلف در جهت طولی در محیط متخلخل اندازه‌گیری نمود. نتایج او نشان می‌دهد که تنها در طول‌های خاصی ضریب پخش فقط قطب تابع عدد پکلت است و تابعیت ضریب پخش نسبت به اندازه محیط متخلخل را اثبات نمود [۳۳]. در اینجا ضریب پخش برای شبکه‌هایی به ابعاد مختلف از معادله (۲۰) محاسبه شده است. شکل ۷ نتایج به دست آمده از شبیه‌سازی را برای شبکه‌های دو بعدی 5×5 تا 300×300 گره نشان می‌دهد. بزرگ شدن شبکه منجر به افزایش ضریب پخش شده است. نتیجه‌های به دست آمده با نتیجه‌های حاصل از شبیه‌سازی سه‌بعدی [۱۵] که برای شبکه‌هایی تا اندازه از 80×80 انجام شده توافق خوبی را نشان می‌دهد.

وابستگی ضریب پخش به ساختمان شبکه

برای بررسی اثر ناهمگنی شبکه بر ضریب پخش، محاسبه‌ها برای شبکه‌هایی که درصد باز بودن گلوهای باز در آنها تغییر داده شده تکرار شده است.

مطابق شکل ۸ نتیجه‌ها نشان می‌دهد که بسته شدن گلوهای افزایش ناهمگنی شبکه موجب افزایش ضریب پخش می‌شود. همچنین بزرگتر شدن اندازه گلوهای موجب افزایش ضریب پخش طولی شده است.

ضریب بازیافت شبکه

وابستگی ضریب بازیافت به اندازه شبکه

در شکل ۹، وابستگی ضریب بازیافت به اندازه شبکه برای دو مقدار نسبت تحرک ده و صد و پارامتر توزیع شاعع $\beta = 5$ و جزء گلوهای بسته 0.2×0.2 نشان داده شده است.

اثر تغییر جزء گلوهای باز

برای بررسی اثر ناهمگنی در شبکه عدد اتصال در شبکه تغییر داده شد. به این منظور درصد معینی از گلوهای در شبکه را به طور تصادفی بسته در نظر گرفته شد.

$$p = 1 - \frac{z}{Z} \quad (21)$$

برای شبکه‌های مختلفی با جزء گلوهای بسته به ترتیب برابر 0.2 ، 0.45 و 0.5 تشکیل جریان انگشتی ویسکوز در شکل ۴ الف، ب و ج مقایسه شده است.

افزایش میزان گلوهای بسته و به عبارتی افزایش ناهمگنی در شبکه موجب افزایش زمان اولین خروج از 35 ثانیه به 44 ثانیه شده است. همچنین جریان‌های انگشتی با طول زیاد در بعضی از ناحیه‌ها تشکیل شده است که این پدیده موجب کاهش ضریب بازیافت از 0.44 به 0.16 شده است. در واقع سرعت در برخی نواحی زیاد و در بعضی کم بوده است و این موجب عدم یکنواختی در پیش روی جریان حلال در شبکه و در نتیجه کاهش ضریب بازیافت شده است.

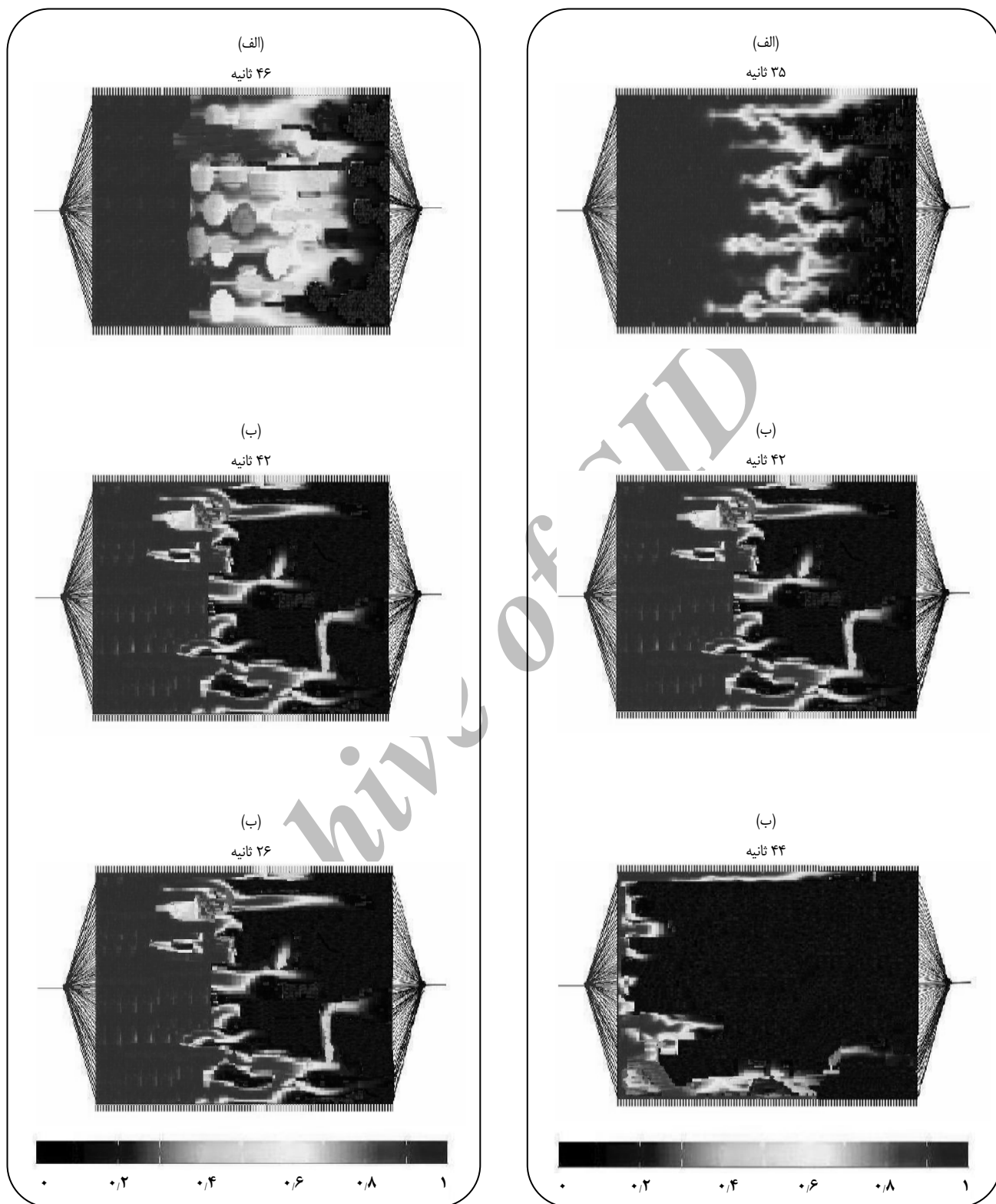
اثر تغییر نسبت تحرک متغیر

اثر تغییر نسبت تحرک بر جابه‌جایی امتزاجی در شکل ۵ بررسی شده است. افزایش نسبت تحرک موجب کاهش زمان اولین خروج از 46 به 42 و در نهایت 26 ثانیه شده است. همچنین جابه‌جایی در شبکه غیر یکنواخت تر و همراه با تشکیل انگشت‌های بیشتر و بلندتر شده است که این پدیده موجب کاهش ضریب بازیافت از 0.44 به 0.76 و در نهایت 0.37 شده است.

بررسی نتیجه‌های شبیه‌سازی

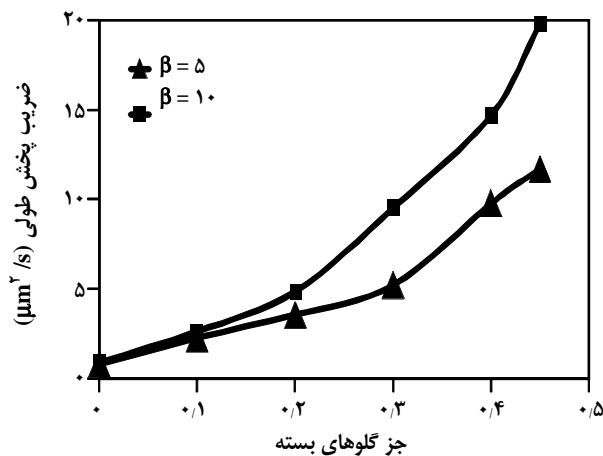
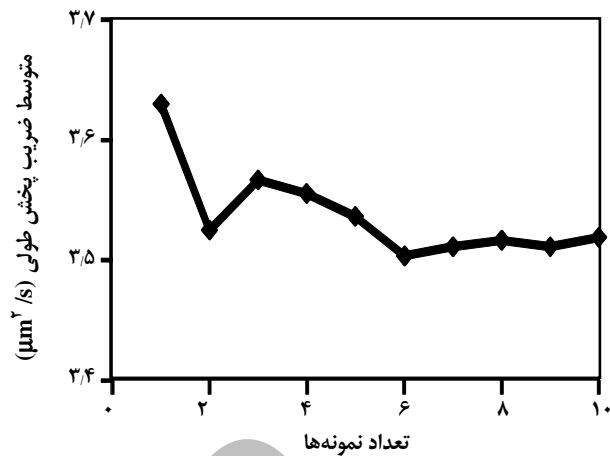
در اینجا از روش مونت کارلو برای به دست آوردن نتیجه‌های شبیه‌سازی‌ها استفاده شده است. در واقع به منظور به حداقل رساندن اثر عدم قطعیت در نتیجه‌هایی که ناشی از استفاده از اعداد تصادفی در تعیین اندازه گلوهای می‌باشد، محاسبه‌ها برای چندین نمونه شبکه مختلف تکرار شده و نتیجه‌های ارایه شده از متوسط‌گیری نتیجه‌های مربوطه به نمونه‌های مختلف به دست آمده است. در اینجا از ده نمونه برای به دست آوردن نتیجه‌ها استفاده شده است.

برای بررسی اثر تعداد نمونه‌ها بر ضریب پخش طولی، متوسط ضریب پخش بر حسب تعداد نمونه برای شبکه‌های مختلف

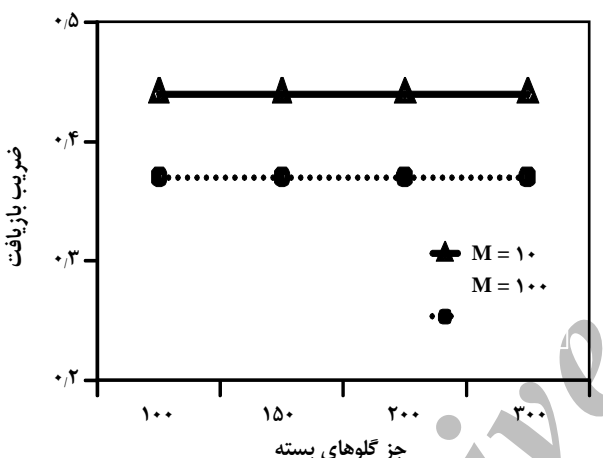


شکل ۵ - شبیه سازی جابه جایی امتزاجی در شبکه ناهمگن با چهار گلهای بسته $\frac{1}{2}$ و پارامتر توزیع شعاع $\beta = 10$ ، (الف) نسبت حرکت ۲، (ب) نسبت حرکت ۴۲، (ج) نسبت حرکت ۱۰۰.

شکل ۶ - شبیه سازی جابه جایی امتزاجی در شبکه ناهمگن با چهار گلهای بسته $\frac{1}{2}$ و نسبت حرکت ۵، (الف) جزء گلهای بسته صفر، (ب) جزء گلهای بسته $\frac{1}{2}$ ، (ج) جزء گلهای بسته $\frac{1}{2}$.

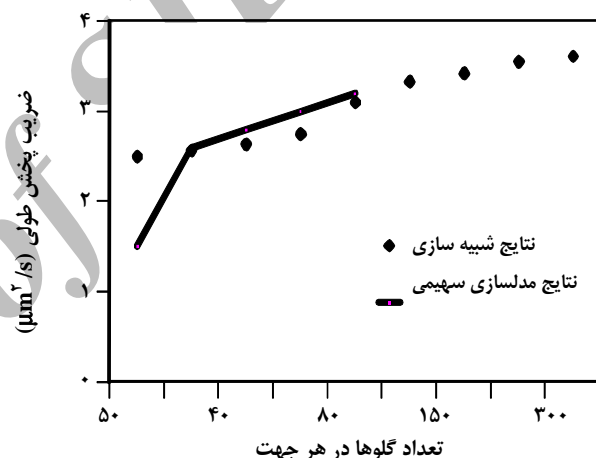
شکل ۸-وابستگی D_1 به جزء گلوهای بسته و اندازه گلوها در مدل شبکه‌ای.

شکل ۶-اثر افزایش تعداد نمونه‌ها بر نتیجه‌های حاصل از مدل شبکه‌ای.



شکل ۹-وابستگی ضریب بازیافت به اندازه شبکه.

وابستگی ضریب بازیافت به دبی تزریق
تأثیر سرعت تزریق حلال بر ضریب بازیافت در زمان اولین خروج در شکل ۱۱ نشان داده شده است. ضریب بازیافت برای دو دبی تزریق حلال برابر $min^{-1} \times 10^{-3} cc/min \times 2 \times 10^{-4} \times 4$ رسم شده است. نتیجه‌ها نشان می‌دهد که سرعت پایین‌تر تزریق حلال منجر به بازیافت بالاتری می‌شود. زیرا در دبی جریان پایین‌تر، زمان کافی برای نفوذ وجود دارد و امکان استخراج نفت بهدام افتاده در فضاهای با انتهای بسته نیز فراهم می‌شود. بنابراین کاهش ضریب بازیافت نفت و جابه‌جایی جریان مخلوط و جریان حلال را در پی خواهد داشت. بنابراین سرعت تزریق حلال باید متناسب با نفوذ در نفت باشد. این نتیجه‌ها با نتیجه‌های آزمایشگاهی برای نفت سنگین هماهنگی دارد [۳۴]. اما به علت نبودن اطلاعات کافی در مورد شرایط آزمایشگاهی مقایسه دقیق نتیجه‌ها امکان پذیر نبوده است.

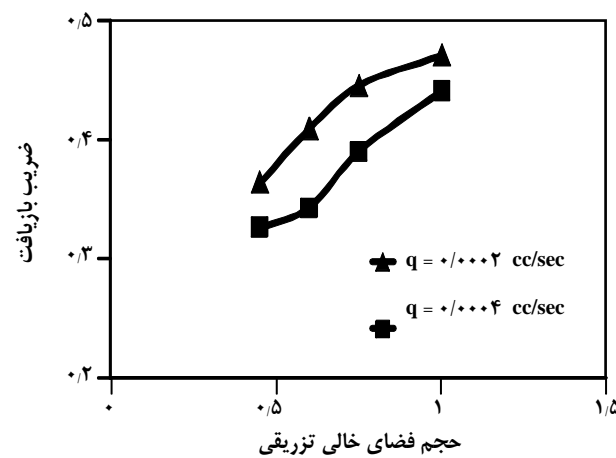


شکل ۷-وابستگی ضریب بازیافت به اندازه شبکه.

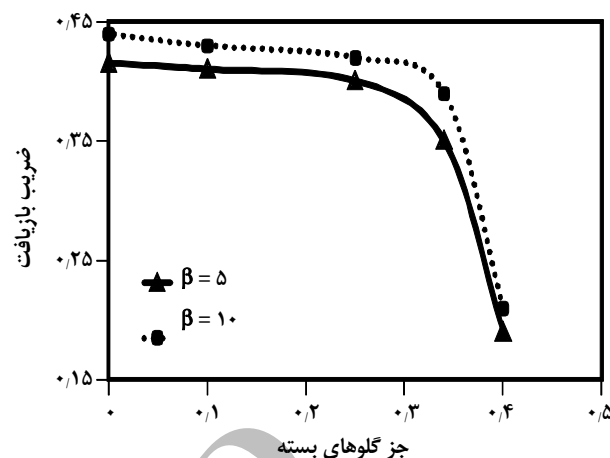
همان‌گونه که مشخص است ضریب بازیافت به اندازه شبکه وابسته نیست ولی همانگون که انتظار می‌رود با افزایش نسبت تحرک، ضریب بازیافت کاهش می‌یابد.

وابستگی ضریب بازیافت به ساختمان شبکه
برای مطالعه اثر ناهمگنی ساختمان شبکه بر جابه‌جایی امتراجی و ساختار جریان انگشتی ویسکوز، شکل ۹ تغییرهای ضریب بازیافت را بر حسب جزء گلوهای باز نشان می‌دهد.

همانطور که در شکل ۱۰ مشخص است با افزایش گلوهای باز ضریب بازیافت نیز افزایش می‌یابد. بنابراین عدد اتصال و در واقع ساختمان فضاهای خالی محیط متخلف نقش مهمی در جابه‌جایی امتراجی و بازده آن دارد. همچنین مطابق شکل ۹ با بزرگ شدن اندازه گلوها ضریب بازیافت جابه‌جایی امتراجی نیز افزایش می‌یابد.



شکل ۱۱-وابستگی ضریب بازیافت به دبی حلال تزریقی.

شکل ۱۰- ضریب بازیافت به عنوان تابعی از درصد گلوهای باز برای دو توزیع شاعع مختلف $\beta=5$ و $\beta=10$.

نمادها

C	غلظت در گلو $[L^2/L^3]$
C_r	غلظت سیال جابجا شونده $[L^2/L^3]$
\bar{C}	غلظت متوسط در لوله مویین در جهت شعاعی $[L^2/L^3]$
C_o	غلظت اولیه $[L^2/L^3]$
D_l	ضریب پخش $[L^3/T]$
D_{ij}	ضریب پخش در گلو ij $[L^3/T]$
D_m	ضریب نفوذ مولکولی $[L^3/T]$
g_{ij}	ضریب هدایت هیدرولیکی گلو ij $[L/T]$
J_{ij}	فلاکس جرمی در هر گلو $[L/T]$
1	طول گلو ij $[L]$
L	طول شبکه $[L]$
M	نسبت تحرک $[-]$
p	جزء گلوهای بسته $[-]$
P_i	فشار گره i $[ML^{-1}T^{-2}]$
P_j	فشار گره j $[ML^{-1}T^{-2}]$
Pe	عدد پکلت $[-]$
Pe_{ij}	عدد پکلت در گلو ij $[-]$
r	فاصله در جهت شعاعی $[L]$
R	شعاع لولهی موئین $[L]$
R_{avg}	شعاع متوسط گلوها $[L]$
R_{ij}	شعاع گلو ij $[L]$
S_{ij}	سطح مقطع گلو ij $[L^2]$
t	زمان $[T]$

نتیجه‌گیری

هدف از این تحقیق بررسی تاثیر پارامترهای مختلف نظری دی حلال و ساختمان محیط متخلخل بر چگونگی تشکیل جریان انگشتی ویسکوز، میزان بازیافت نفت و ضریب پخش در محیط متخلخل بود. نتیجه‌های مدل سازی موارد زیر را نشان دادند:

۱- دبی حلال بر بازیافت نفت تاثیر گذار است. تاثیر سرعت تزریق حلال در این تحقیق مورد بررسی قرار گرفت و نتایج نشان داد که در صورتی که شدت تزریق حلال پایین‌تر باشد، بازیافت نفت بیشتر می‌شود.

۲- ضریب پخش طولی به اندازه شبکه وابسته بوده و با بزرگ شدن شبکه به آرامی افزایش می‌یابد. همچنین با افزایش جزء گلوهای بسته، سرعت در گلوها کاهش یافته و ضریب پخش طولی افزایش می‌یابد.

۳- برای بررسی اثر ناهمگنی ساختمان شبکه بر جابجایی امتزاجی و ساختار جریان انگشتی ویسکوز، جزء گلوهای بسته و توزیع اندازه شاع گلوها را تعییر دادیم. نتایج نشان می‌دهد با افزایش جزء گلوهای بسته و در واقع افزایش ناهمگنی شبکه، ضریب بازیافت کاهش می‌یابد. بنابراین عدد اتصال و جزء گلوهای بسته در شبکه (ساختار محیط متخلخل) نقش مهمی در جابجایی امتزاجی و بازده آن دارد. با افزایش شاع و در واقع اندازه گلوها ضریب بازیافت فرآیند جابجایی نیز افزایش می‌یابد.

۴- ضریب بازیافت به اندازه شبکه وابسته نبوده اما با افزایش نسبت تحرک، ضریب بازیافت کاهش می‌یابد.

۵- کم شدن اتصال بین گلوها و افزایش فضاهای انتهای بسته در شبکه، موجب ناهمگنی آن شده و افزایش ضریب پخش را به دنبال دارد.

X_{ij}	طول قسمتی از گلو z_j که با مخلوط سیال جابه‌جا شونده و جابجاکننده پر شده است [L]	t_{ij}	زمان عبور از گلو z_j [T]
z	عدد اتصال در شبکه [-]	$t_{./.16}$	زمانی که غلظت به غلظت اولیه ۰/۱۶ است [T]
$\langle z \rangle$	عدد اتصال متوسط در شبکه [-]	$t_{./.84}$	زمانی که غلظت به غلظت اولیه ۰/۸۴ است [T]
α	پارامتر در توزیع ویبال برای تعیین شاعع موثر گلو [-]	Δt	بازه زمانی برای پیشروی جبهه سیال [T]
β	پارامتر در توزیع ویبال برای تعیین شاعع موثر گلو [-]	v	سرعت در لوله موئین [L/T]
η_l	ویسکوزیته سیال جابجا کننده $[ML^{-1}T]$	v_{ij}	سرعت در گلو z_j [L/T]
η_r	ویسکوزیته سیال جابجا شونده $[ML^{-1}T]$	x	فاصله در جهت طولی [L]
η_m	ویسکوزیته موثر مخلوط دو سیال $[ML^{-1}T]$	x	اعداد رندم بین صفر و یک در توزیع ویبال [-]

تاریخ دریافت: ۱۳۸۷/۶/۲ ، تاریخ پذیرش: ۱۳۸۸/۱/۴

مراجع

- [1] Sorbie K.S., Clifford P.J., The Inclusion of Molecular Diffusion Effects in the Network Modeling of Hydrodynamic Dispersion in Porous Media, *Chem. Eng. Sci.*, **46**, p. 2525 (1991).
- [2] Koplik J., Redner S., Wilkinson D., Transport and Dispersion in Random Networks with Percolation Disorder, *Phys. Rev. A* **37**, p. 2619 (1988).
- [3] Sahimi M., Hughes B.D., Scriven L.E., Davis, H., Dispersion in Flow Through Porous Media: I. One-Phase Flow, *Chem. Eng. Sci.*, **41**, p. 2103 (1986).
- [4] Berkowitz B., Scher H., Anomalous Transport in Random Fracture Networks, *Phys. Rev. Let.*, **79**, p. 4038 (1997).
- [5] Hull L.C., Koslow K.N., Stream Line Routing Through Fracture Junctions, *Water Resources Reservoir*, **22**, p. 1731 (1986).
- [6] Makes H.A., Andrade J.S., Standly H.E., Tracer Dispersion in a Percolation Network with Special Correlations, *Phys. Rev. E* **61**, p. 583 (2000).
- [7] Simon R., Kelsey F.J., The Use of Capillary Tube Networks in Reservoir Performance Studies: I. Equal Viscosity Miscible Displacements, *SPE J.*, **11**, p. 99 (1971).
- [8] Blunt M.J., Detailed Physics, Predictive Capabilities, and Macroscopic Consequences for Pore Network Models of Multiphase Flow, *Adv. Water Res.*, **25**, p. 1069 (2002).
- [9] Rhodes M.E., Blunt M.J., An Exact Particle Tracking Algorithm for Advective Dispersive Transport in Networks with Complete Mixing at Nodes, *Water Resources Res.*, **42**, p. W0450 (2006).
- [10] Bakke S., øren, P.E., Three Dimensional Pore Scale Modeling of Sandstone and Flow Simulations in the Pore Networks, *SPE J.*, **2**, p. 136 (1997).
- [11] Valvatne P.H., Blunt M.J., Predictive Pore Scale Modeling of Two Phase Flow in Mix Wet Media, *Water Resource Res.*, **40**, p. wo7406, (2004).
- [12] Piri M., Blunt M.J., Three Dimensional Mixed Wet Random Pore Scale Network Modeling of Two and Three Phase Flow in Porous Media. II Results, *Phy. Rev. E*, p. 71, (2005).

- [13] Bijelic B., Muggeridge A.H., Blunt M.J., Pore Scale Modeling of Longitudinal Dispersion, *J. Water Resour. Res.*, **40**, p. W11501 (2004).
- [14] DeArcangelis L., Koplik J., Redner S., Wilkinson D., Hydrodynamic Dispersion in Network Models of Porous Media, *Phys. Rev. Lett.*, **57**, p. 996 (1986).
- [15] Sahimi M., Flow Phenomena in Rocks from Continuum Models to Fractals, Percolations, Cellular Automate and Simulated annealing, *Rev. Mod. Physics*, **65**, p. 1393 (1993).
- [16] DeGennes, P. G., La Percolation: un Concept Unificateur, *J. Recherche*, **7**, p. 919 (1976).
- [17] Sahimi M., Imdakm A.O., The Effect of Morphological Disorder on Hydrodynamic Dispersion in Flow Through Porous Media, *J. Phys. A Math. Gen.*, **21**, p. 3833 (1988).
- [18] Haylin S., Arraham B.D., Diffusion in Disordered Media, *J. Adv. Phys.*, **51**, p. 187 (2002).
- [19] Berkovitz B.C., Naumann C., Smith L., Mass Transfer at Fracture Intersections: an Evaluation of Mixing Models, *J. Water Resour. Res.*, **30**, p. 1765 (1994).
- [20] Delshad M., McAllister D.J., Pope G.A., Rouse B.A., Multiphase Dispersion and Relative Permeability Experiments, *SPE J.*, **25**, p.476 (1985).
- [21] Taylor G.I., Dispersion of Soluble Matter in Solvent Flowing Slowly Through a Tube, *Proc. Roy. Soc.*, **219(A)**, p. 186 (1953).
- [22] Aris R., On the Dispersion of a Solute in a Fluid Flowing Through a Tube, *Proc. Roy. Soc.*, **235(A)**, p. 67 (1956).
- [23] Sahimi M., "Flow and Transport in Porous Media and Fractured Rock", VCH, Weinheim, pp.449 (1995).
- [24] Owen J.E., Resistivity of Fluid Filled Porous Body, Trans, *AIME*, **195**, p. 166 (1952).
- [25] Siddiqui H. and Sahimi M., Computer Simulations of Miscible Displacement Processes in Disordered Porous Media, *Chem. Eng. Sci.*, **45**, p. 163 (1990).
- [26] Fatt I., Network Model to Gas Diffusion in Moist Porous Media, Trans. *AIME*, **207**, p. 144 (1956).
- [27] Bijelic B., Blunt M.J., Dispersion at Pore Scale Unifying Experiment, Pore Network Modeling and Continuous Time Random Walk Theory, *American Geophysical Union*, p.H14B-04 (2006).
- [28] Koval E.J., A Method of Predicting the Performance of Unstable Miscible Displacement in Heterogeneous Media, *Soc. Pet. Eng. J., Trans. AIME*, **228**, p. 145 (1963).
- [29] Delshad M., McAllister D.J., Pope G.A. and Rouse B.A., Multiphase Dispersion and Relative Permeability Experiments, *SPE J.*, **25**, p.476 (1985).
- [30] Salter S.J., Mohanty K.K., Multiphase Flow in Porous Media: I. Macroscopic Observations and Modeling, *SPE 11017*, (1982).
- [31] Edwards M.F., Richardson J.F., Gas Dispersion in Packed Beds, *J. Chem. Eng. Sci.*, **23**, p.109 (1968).
- [32] Harleman D.R.F., Rumer, R.R., Longitudinal and Lateral Dispersion in an Isotropic Porous Medium, *Fluid Mech*, **16**, p.385 (1963).

- [33] Han N.W., Bhakta J., Carbonell R.G., Longitudinal and Lateral Dispersion in Packed Beds: Effect of Column Length and Particle Size Distribution, *American Ins. Chem. Eng. J.*, **31**, p. 277 (1985).
- [34] Behrouz T., Kharrat R., Experimental Investigation of Miscible Displacement in Heavy Oil: Using Glass Type Micro model, *Iran. Chem. Chem. Eng. (IJCCE)*, **26**(4), p. 73 (2007).

Archive of SID